

# 滲 碳 鋼 的 強 度

姚 貴 升 編譯

## 內容簡介

本书系参考国外有关文献编写的，首先討論滲碳鋼的弯曲强度、冲击韧性、耐磨性能和疲劳性能等问题，并研究影响上述性能的各种因素，接着論述滲碳齒輪的破坏形式及影响齒輪使用寿命的因素，最后討論滲碳鋼材的选择問題。

本书主要讀者对象系从事汽車制造的工程技术人员，也可供一般机械制造厂和钢厂在选用钢材及研究新钢种时的参考。

NO 3187

1960年3月第一版 1960年3月第一版第一次印刷

787×1092 1/2 字数 108 千字 印张 5 2/16 0,001—3,350 册

机械工业出版社(北京丰台门外百万庄)出版

机械工业出版社印刷厂印刷 石油书店发行

北京图书出版业营业許可証出字第 008 号

定 价(11)0.81元

# 目 次

第一章 靜弯曲試驗時滲碳樣品的強度 .....	5
1 心部強度對滲碳樣品強度的影響.....	5
2 滲碳層的性能對滲碳樣品強度的影響.....	14
3 影響過渡層發生塑性變形的因素.....	16
4 滲碳層厚和樣品尺寸對滲碳樣品強度的影響.....	20
5 脆性破壞和韌性破壞.....	25
第二章 動弯曲（衝擊）試驗時滲碳樣品的強度 .....	29
第三章 滲碳鋼的疲勞強度 .....	42
1 滲碳層或氮化層厚對疲勞強度的影響 .....	43
2 心部強度對滲碳後疲勞強度的影響 .....	46
3 滲碳層金相組織和面層含碳量的影響 .....	50
4 突口樣品的疲勞強度 .....	53
第四章 滲碳鋼的耐磨性能 .....	59
第五章 滲碳層的機械性能 .....	71
1 滲碳層的強度和塑性 .....	71
2 滲碳層的組織對其強度的影響 .....	77
3 合金元素對滲碳層強度和塑性的影響 .....	87
4 低溫回火對滲碳層強度的影響 .....	94
第六章 滲碳零件的內應力 .....	97
第七章 滲碳鋼的強度理論在汽車齒輪上的應用 .....	104
1 汽車齒輪的損壞形式 .....	105
2 齒牙斷裂 .....	110
3 齒牙的端末損壞 .....	118
4 齒牙工作表面的接觸疲勞破壞 .....	122
5 齒牙的疲勞斷裂 .....	129

6 牙齿工作表面磨损	143
第八章 渗碳钢料的选择	145
1 对渗碳钢材的要求	145
2 渗碳钢材的含碳量	150
参考文献	163

# 滲 碳 鋼 的 強 度

姚 貴 升 編譯

## 內容簡介

本书系参考国外有关文献编写的，首先討論滲碳鋼的弯曲强度、冲击韧性、耐磨性能和疲劳性能等问题，并研究影响上述性能的各种因素，接着論述滲碳齒輪的破坏形式及影响齒輪使用寿命的因素，最后討論滲碳鋼材的选择問題。

本书主要讀者对象系从事汽車制造的工程技术人员，也可供一般机械制造厂和钢厂在选用钢材及研究新钢种时的参考。

NO 3187

1960年3月第一版 1960年3月第一版第一次印刷

787×1092 1/2 字数 108 千字 印张 5 2/16 0,001—3,350 册

机械工业出版社(北京丰台门外百万庄)出版

机械工业出版社印刷厂印刷 石油书店发行

北京图书出版业营业許可証出字第 008 号

定 价(11)0.81元

# 目 次

第一章 靜弯曲試驗時滲碳樣品的強度 .....	5
1 心部強度對滲碳樣品強度的影響.....	5
2 滲碳層的性能對滲碳樣品強度的影響.....	14
3 影響過渡層發生塑性變形的因素.....	16
4 滲碳層厚和樣品尺寸對滲碳樣品強度的影響.....	20
5 脆性破壞和韌性破壞.....	25
第二章 動弯曲（衝擊）試驗時滲碳樣品的強度 .....	29
第三章 滲碳鋼的疲勞強度 .....	42
1 滲碳層或氮化層厚對疲勞強度的影響 .....	43
2 心部強度對滲碳後疲勞強度的影響 .....	46
3 滲碳層金相組織和面層含碳量的影響 .....	50
4 突口樣品的疲勞強度 .....	53
第四章 滲碳鋼的耐磨性能 .....	59
第五章 滲碳層的機械性能 .....	71
1 滲碳層的強度和塑性 .....	71
2 滲碳層的組織對其強度的影響 .....	77
3 合金元素對滲碳層強度和塑性的影響 .....	87
4 低溫回火對滲碳層強度的影響 .....	94
第六章 滲碳零件的內應力 .....	97
第七章 滲碳鋼的強度理論在汽車齒輪上的應用 .....	104
1 汽車齒輪的損壞形式 .....	105
2 齒牙斷裂 .....	110
3 齒牙的端末損壞 .....	118
4 齒牙工作表面的接觸疲勞破壞 .....	122
5 齒牙的疲勞斷裂 .....	129

6 牙齿工作表面磨损	143
第八章 渗碳钢料的选择	145
1 对渗碳钢材的要求	145
2 渗碳钢材的含碳量	150
参考文献	163

# 第一章 靜弯曲試驗时渗碳样品的强度

## 1 心部强度对渗碳样品强度的影响

为了研究心部强度对渗碳样品强度的影响，別列里曼 [4]用十三种钢材的伪渗碳和二面渗碳后的样品进行了弯曲試驗，由于十三种钢材的化学成分不同和样品的断面尺寸（从10毫米到25毫米）不同而得到了不同的心部强度。将伪渗碳样品的弯曲降服强度和渗碳样品的弯曲降服强度划成曲綫如图1所示，随着伪渗碳样品强度（即心部强度）提高而使渗碳后样品的强度也提高了，說明心部性能对渗碳后性能的显著影响。

同样，麦克米倫 [3] 用数种钢材进行了試驗，我們選擇其中六种钢材的試驗結果进行了整理。六种钢材的成分列于表1。

将上述六种钢材作成 $19 \times 19 \times 254$  毫米的样品在 $930^{\circ}\text{C}$  經6小时和22小时的渗碳处理以便得到0.7~0.9毫米和1.5~2.0毫米的渗碳层厚，渗碳后的样品一部分直接从渗碳罐取出淬火，另一部分經過二次淬火，二次淬火的工艺列于表2。

伪渗碳样品在 $930^{\circ}\text{C}$  經加热8小时后直接淬火和二次淬火，二次淬火的工艺与渗碳样品的工艺相同。热处理时毛坯尺寸为 $\phi 22$ 毫米，热处理后再車取試样。

渗碳后直接淬火时心部强度与渗碳样品弯曲强度的关系

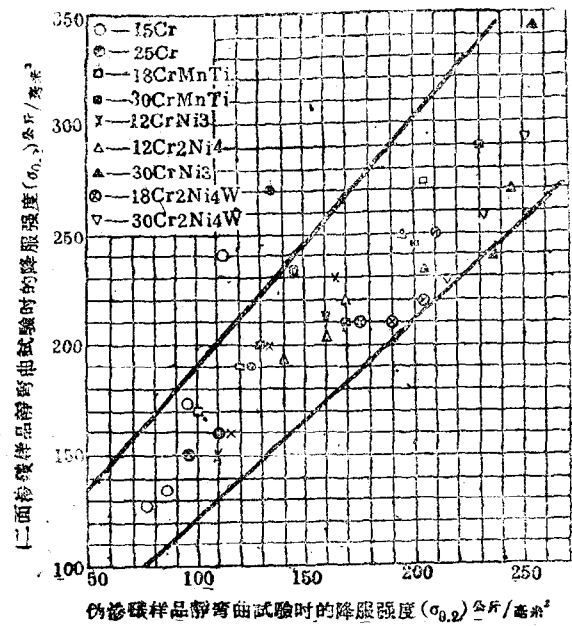


图1 伪渗碳的性能(即心部性能)对渗碳后性能的影响  
900~920°C, 9小时渗碳样品的渗碳层厚0.8~1.2毫米。

表1 試驗用六种鋼材的成分

鋼号	C	Mn	P	S	Ni	Cr	V	Mo	Si	冶炼方法
20	0.16	0.59	0.029	0.038					0.23	平炉
15Ni3	0.19	0.61	0.012	0.021	3.62				0.23	平炉
15CrNi	0.18	0.48	0.019	0.031	1.32	0.65			0.25	电炉
15Ni2Mo	0.17	0.54	0.017	0.020	1.77			0.25	0.29	电炉
12Ni5	0.15	0.53	0.019	0.029	5.00				0.14	电炉
15CrV	0.18	0.76	0.019	0.034		0.88	0.18		0.19	电炉

表2 六种钢材二次淬火工艺

钢 号	第一次淬火	第二次淬火
20	885°C 淬油	830°C 淬水
15Ni3	843°C 淬油	750°C 淬油
15CrNi	843°C 淬油	830°C 淬油
15Ni2Mo	843°C 淬油	760°C 淬油
12Ni5	843°C 淬油	730°C 淬油
15CrV	900°C 淬油	800°C 淬油

碳样品强度的降低。将渗碳层厚度不同的样品经过二次淬火后再进行弯曲试验时，在相同的心部强度情况下，渗碳层较

示于图2，从该图可以看出：随着心部强度的增加，渗碳样品的弯曲强度也增加，但是在相同的心部强度时，渗碳层较厚的样品弯曲强度较低。这是由于渗碳层较深的样品面层组织不良而引起了整个渗

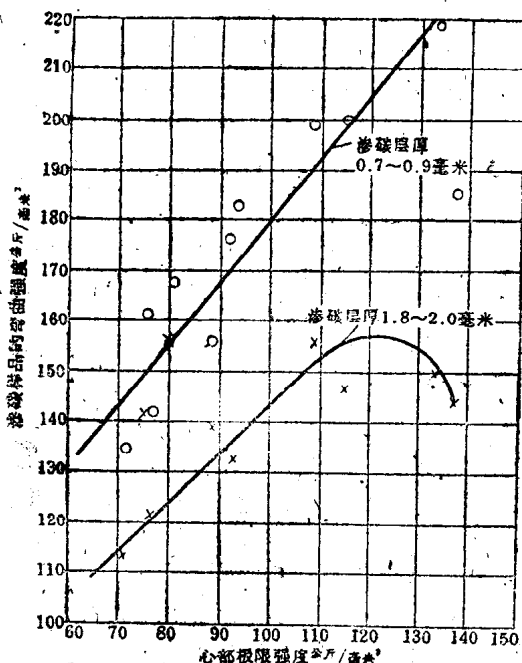


图2 心部强度对渗碳样品强度的影响（直接淬火）。

深的样品的弯曲强度并不降低反而略有增加，这种关系如图3所示，因为二次淬火后改善了渗碳层較深样品的面层組織。关于渗碳层的厚度对渗碳样品强度的影响以后我們还要詳細討論。总之，不管渗碳层的厚度，心部强度的增加会促使渗碳样品强度的增加。

別列里曼和麥克米倫的試驗都是用化学成分不同的鋼材进行的，因此除去心部强度的影响以外渗碳层的化学成分也可能影响渗碳样品的弯曲强度，为了消除化学成分对渗碳层性能的影响馬路斯等〔6〕采用了四种合金元素含量相同但含碳量不同的鋼材进行試驗，因为合

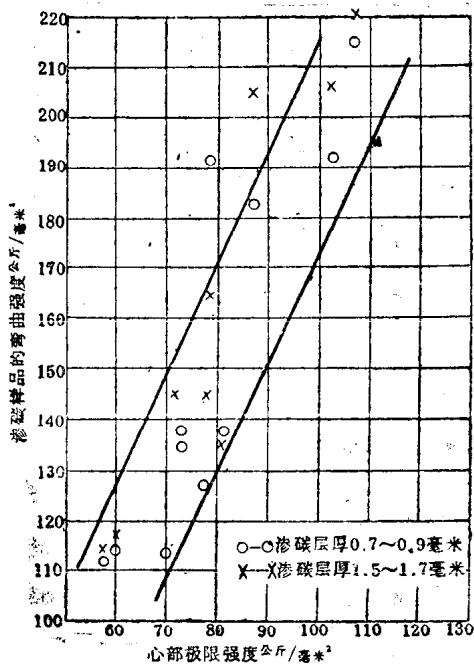


图3 心部强度对渗碳样品强度的影响（二次淬火）。

金元素相同的鋼渗碳后表面的成分相同因而渗碳层的性能相同，但心部由于含碳量不同渗碳淬火后性能也将不相同，这样我們便可以看出心部性能对渗碳样品性能的影响。

为了以后研究渗碳层的性能对渗碳样品性能的影响采用二种含碳量相同但含合金元素不同的鋼材进行試驗，由于心

部含碳量相同淬火回火后强度相近，但由于合金元素不同渗碳后渗碳层性能不同，这样便可以了解渗碳层的性能对渗碳样品性能的影响。

試驗鋼材的成分列于表 3。

將表 3 所列的鋼材按滲碳齒輪的熱處理工藝處理後（偽滲碳後淬火回火）的機械性能列于表 4。

表 3 試驗用鋼的化學成分

序号	钢 号	化 学 成 分 (%)						
		C	Mn	Si	Cr	Ni	P	S
1	12CrNi3	0.12	0.43	0.25	1.28	3.35	0.016	0.017
2	14CrNi3	0.14	0.40	0.24	1.32	3.45	0.018	0.021
3	24CrNi3	0.24	0.38	0.22	1.30	3.50	0.012	0.027
4	37CrNi3	0.37	0.37	0.35	1.28	3.28	0.019	0.021
5	40Cr	0.40	0.35	0.23	0.98	0.21	0.020	0.025

表 4 表 3 列出的五种鋼材的機械性能

序号	钢 号	机 械 性 能					
		极限强度 $\sigma_b$ 公斤/毫米 <sup>2</sup>	降服强度 $\sigma_s$ 公斤/毫米 <sup>2</sup>	延伸率 $\delta$ %	面缩率 $\psi$ %	冲击值 $a_K$ 公斤·米/厘米 <sup>2</sup>	硬度 $H_B$
1	12CrNi3	119.2	100.0	12.2	62.6	12.3	321
		120.3	102.8	11.4	61.6	11.7	321
		120.5	103.0	12.8	61.7	12.2	321
2	14NiCr3	131.0	103.9	11.2	61.4	10.6	375
		131.1	107.8	11.5	62.1	11.4	375
		131.1	108.5	12.0	60.7	10.2	375
3	24NiCr3	154.8	140.0	10.0	57.0	8.4	444
		157.6	138.8	10.7	57.7	7.7	444
		156.0	136.7	10.7	58.0	8.6	444
4	37CrNi3	161.0	149.0	9.8	49.5	4.9	512
		162.3	150.0	9.9	48.9	5.1	512
		163.1	149.3	8.6	48.5	5.2	512
5	40Cr					0.7	532
						1.1	532
						0.7	532

从表 4 可以看出：含碳不同的鎳鉻鋼經滲碳（即滲碳样品的心部）后的性能相差很多，随着含碳量由 0.12% 提高到 0.37%，极限强度由 120 公斤/毫米<sup>2</sup> 提高到 162 公斤/毫米<sup>2</sup>，硬度由  $H_B$  320 提高到  $H_B$  510，冲击值由 12 公斤·米/厘米<sup>2</sup> 降到 5 公斤·米/厘米<sup>2</sup>。

40Cr 鋼的硬度和 37CrNi3 相近，但是其冲击值低得多，拉力試驗時 40Cr 鋼樣品斷在头部所以沒有求出拉力試驗数据。

滲碳后的样品进行弯曲試驗，样品尺寸是  $15 \times 15 \times 100$  毫米，沒有缺口。样品四周都滲碳到层厚为 1.4~1.6 毫米，选择这样的样品是力图和齒輪的牙齿相近。在 20 吨压力机上进行試驗，跨距 80 毫米，用蔡司指示器測量 撓度，每增加負荷 200 公斤讀一次撓度讀數。降服力是由 放大倍数較大的弯齒圖中找出，采用撓度为 0.03 毫米时的負荷作为降服力。

样品滲碳层的組織都是馬氏体 + 少量球狀碳化物，心部組織都是馬氏体，只是 12CrNi3 鋼心部組織中仍保留有未溶解的鐵素体。

滲碳样品弯曲試驗的結果列于表 5。

表 5 的数据說明：滲碳样品的最大弯曲力和降服弯曲力随着心部硬度之增加而增加（图 4）而且最大撓度  $f_{max}$  也隨心部硬度之增加而增加（图 5）。

滲碳样品的降服（即当負荷为  $P_s$  时会发生塑性变形）实际上是由在脆的滲碳层与心部交界处的过渡层的塑性变形所致。为了証实这点又进行了下列試驗，即對不滲碳的但是經過淬火和低溫回火的 14CrNi3，24CrNi3 和 37CrNi3 的

表 5 渗碳淬火弯曲试验结果

序号	钢号	渗碳层厚 (毫米)	渗碳层硬 度(Rc)	心部硬度 (H <sub>B</sub> )	弯 曲 试 验 结 果				平均 挠度 (毫米)
					最大弯曲力 $P_{max}$ (公斤)	平均 弯曲力 $P_s$ (公斤)	降服弯曲力 $P_f$ (公斤)	平均 挠度 (毫米)	
1	12CrNi3	1.45	60	321	5600	4400	4400	1.35	1.48
		1.50	61	321	5800	5830	4300	1.42	
		1.55	61	321	6080		4600	1.61	
2	14CrNi3	1.50	60	375	7000	5000	5100	1.62	1.60
		1.50	61	375	6000	6470	4933	1.46	
		1.50	61	375	6400		4700	1.70	
3	24CrNi3	1.45	61	444	7460	5300	5300	1.72	1.80
		1.50	60	444	7200	7520	5900	5667	
		1.50	61	444	7900		5800	1.70	
4	37CrNi3	1.50	61	512	9000	6500	6500	2.09	1.98
		1.50	60	512	8900	8830	6500	6600	
		1.55	61	512	8690		6800	1.86	
5	40Cr	1.45	61	532	6000	—	—	1.13	1.15
		1.45	61	532	6000	6070	—	1.14	
		1.50	61	532	6200		—	1.17	

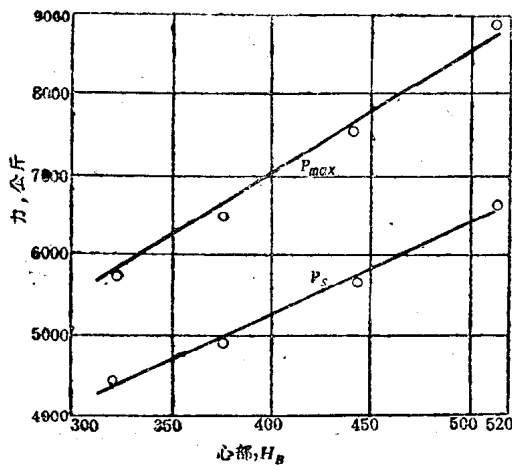


图 4 渗碳样品的强度和心部硬度的关系。

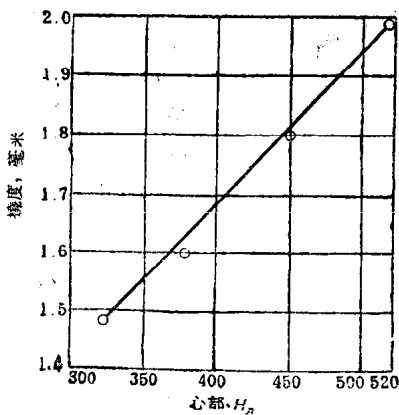


图 5 渗碳样品的擦度和心部硬度的关系。

样品按渗碳样品同样条件进行試驗求出  $P_s$  并且按公式  $\sigma = \frac{M}{W}$  計算不渗碳样品的最外层和渗碳样品距表面 1.5 毫米处的降服强度  $\sigma_s$ ，試驗結果列于表 6。

表 6 渗碳样品和不渗碳样品的 $\sigma_s$ 比較

序号	钢号	处理情况	降服力 $P_f$ 公斤	降服强度 $\sigma_s$ 公斤/毫米 <sup>2</sup>
1	14CrNi3	渗 碳	4933	139
		不渗 碳	4200	149
2	24CrNi3	渗 碳	5667	162
		不渗 碳	4800	170
3	37CrNi3	渗 碳	6600	188
		不渗 碳	5600	198

不渗碳样品和渗碳样品的降服强度数值相近證明了渗碳样品的降服是由于过渡层塑性变形所致。

为了解釋为什么 $P_{max}$ 、 $P_s$ 会随着心部硬度增加而增加，可以用图 6 来說明。

纵坐标表示距

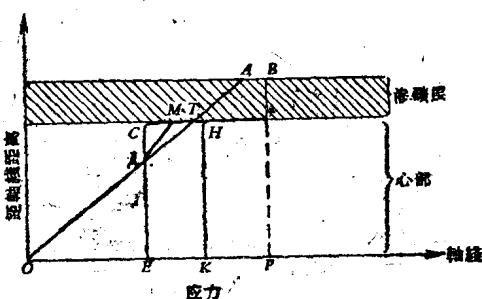


图 6 弯曲試驗时应力和渗碳样品性能之间的关系。

样品軸線的距离，横座標表示應力的大小， $OE$  和  $OK$  分別表示心部硬度低的和心部硬度高的样品的降服強度， $OP$  表示渗碳层的极限强度，心部硬度低的和心部硬度高的样品渗碳层极限强度相同都用  $OP$  表示。加弯曲負荷后，样品斷面上應力分布如  $OA$  所示，心部硬度較高的样品沒有发生塑性变形，因为在断面各部位由于弯曲負荷而引起的應力都沒有超材料的降服强度  $OK$ ，而心部硬度低的样品在同样應力状态下在过渡层厚为  $CA$  部分由于應力超过了材料的降服强度  $OE$  而发生了塑性变形，在这种情况下沿样品断面的應力分